とう知库 Eco-Environmental Knowledge Web



ENVIRONMENTAL SCIENCE

ISSN 0250-3301 CODEN HCKHDV HUANJING KEXUE

- 主办 中国科学院生态环境研究中心
- ■出版科学出版社





2020

Vol.41 No.2 第41卷 第2期

ENVIRONMENTAL SCIENCE

第41卷 第2期 2020年2月15日

目 次

```
成都平原 PM, 5中碳质组分时空分布特征与来源………………… 史芳天, 罗彬, 张巍, 刘培川, 郝宇放, 杨文文, 谢绍东(520)
长三角背景点夏季大气 PM<sub>2.5</sub>中正构烷烃和多环芳烃的污染特征和来源解析······
 ································ 薛国艳,王格慧,吴灿,谢郁宁,陈玉宝,李杏茹,王心培,李大鹏,张思,葛双双,丁志健(554)
2017年秋季长春市 PM<sub>2.5</sub>中多环芳烃的污染来源及健康风险评价 …… 张艺璇, 曹芳, 郑涵, 张东东, 翟晓瑶, 范美益, 章炎麟(564)
黑炭气溶胶质谱仪 (SP-AMS)分析春季 PM<sub>2.5</sub>中水溶性有机气溶胶 …… 黄雯倩,陈彦彤,李旭东,赵竹子,马帅帅,叶招莲,盖鑫磊(609)南京市黑碳气溶胶时间演变特征及其主要影响因素 …… 杨晓旻,施双双,张晨,王红磊,王振彬,朱彬(620)
西安市大气降水污染和沉降特征及其来源解析……                              丁铖,于兴娜,侯思宇(647)
4种动物养殖场空气中抗生素耐药菌的生物多样性及群落结构………… 沙云菲,孙兴滨,辛文鹏,高浩泽,程首涛,高敏,王旭明(656)
南小河沟流域地表水和地下水的稳定同位素和水化学特征及其指示意义 …… 郭亚文, 田富强, 胡宏昌, 刘亚平, 赵思晗(682)
桂西南地球化学异常区农田重金属空间分布特征及污染评价 …………………………………………………… 王佛鹏,肖乃川,周浪,庞瑞,宋波(876)
黄河三角洲不同植物群落土壤酶活性特征及影响因子分析 ………………………………………… 莫雪,陈斐杰,游冲,刘福德(895)
管理措施对黄土高原油松人工林土壤水溶性碳氮及其三维荧光特征的影响 …… 宋亚辉,张娇阳,刘鸿飞,薛萐,李秧秧(905)
生物炭输入对不同滨岸带土壤营养元素有效态变化的影响 ……………………… 周慧华, 袁旭音, 熊钰婷, 韩年, 叶宏萌, 陈耀祖(914)
接种菌根真菌对湿生植物根际土壤硝化反硝化活性的影响及其微生物机制 ……………………………… 刘躲,王磊,曹湛波,段灏(932)
可生物降解螯合剂 GLDA 强化三叶草修复镉污染土壤 ………………… 贺玉龙,余江,谢世前,李佩柔,周宽,何欢(979)
我国畜禽粪便重金属含量特征及土壤累积风险分析……… 穆虹宇, 庄重, 李彦明, 乔玉辉, 陈清, 熊静, 郭丽莉, 江荣风, 李花粉(986)
《环境科学》征订启事(553) 《环境科学》征稿简则(655) 信息(664,755,885)
```



京津冀及周边区域 $PM_{2.5}$ 叠加沙尘重污染过程特征及 预报效果分析

朱媛媛^{1,2}, 高愈霄^{1,2*}, 柴文轩¹, 王帅¹, 李亮¹, 王威¹, 王光¹, 刘冰¹, 王晓彦¹, 李健军¹ (1. 中国环境监测总站,北京 100012; 2. 北京科技大学能源与环境工程学院,北京 100083)

摘要: 选取京津冀及周边区域 2018 年 11 月 23 日至 12 月 4 日一次大范围、长时间且 $PM_{2.5}$ 叠加两次沙尘传输的复合型重度污染过程开展特征研究,分析了首要污染物 $PM_{2.5}$ 和 PM_{10} 浓度的发展演变,以及污染气象影响因素;结合激光雷达地基和车载走航监测结果,以及 HYSPLIT 后向轨迹结果,讨论了区域污染传输的情况;并对重污染期间 NAQPMS、CMAQ 和 CAMx 这 3 个空气质量模式的预报效果进行了回顾分析. 结果表明,研究时段 $PM_{2.5}$ 叠加两次沙尘传输导致区域中南部多数城市达到重至严重污染水平,张家口、北京、石家庄、邯郸和郑州 PM_{10} 小时峰值分别为1 589、864、794、738 和 766 $\mu g \cdot m^{-3}$,中时峰值浓度分别为 239、319、387、321 和 380 $\mu g \cdot m^{-3}$. 地面弱气压场、高湿、逆温等静稳条件和沙尘是重要的污染气象和天气因素. 激光雷达地基和车载走航监测数据结合 HYSPLIT 后向轨迹分析表明重污染期间区域西南和东南方向发生了 $PM_{2.5}$ 传输;区域两次沙尘过程主要受西北路径传输影响. 此外,NAQPMS、CMAQ 和 CAMx 这 3 个模式均可较好地预测到京津冀及周边区域的重污染过程,但对个别城市预报略有偏差. 该次重污染过程中模式对 $PM_{2.5}$ 的预报效果要好于 PM_{10} ,这与气象模式预报、大气化学反应机制、污染源清单的不确定性,以及重污染应急措施导致的污染源排放的改变有一定关系.

关键词:京津冀; NAQPMS 模式; PM_{2.5};污染气象;沙尘;后向轨迹;激光雷达; 预报评估中图分类号: X513 文献标识码: A 文章编号: 0250-3301(2020)02-0574-13 **DOI**: 10.13227/j. hjkx. 201908123

Heavy Pollution Characteristics and Assessment of $PM_{2.5}$ Predicted Model Results in Beijing-Tianjin-Hebei Region and Surrounding Areas During November 23 to December 4, 2018

ZHU Yuan-yuan^{1,2}, GAO Yu-xiao^{1,2}*, CHAI Wen-xuan¹, WANG Shuai¹, LI Liang¹, WANG Wei¹, WANG Guang¹, LIU Bing¹, WANG Xiao-yan¹, LI Jian-jun¹

(1. China National Environmental Monitoring Centre, Beijing 100012, China; 2. School of Energy and Environmental Engineering, University of Science and Technology Beijing, Beijing 100083, China)

Abstract: This study discusses the concentration characteristics of PM_{2.5} and PM₁₀, as well as pollution meteorology in large-scale and long-term heavy pollution in the Beijing-Tianjin-Hebei region and its surrounding areas from November 23 to December 4, 2018, where the primary pollutants are comprised of PM2.5 and PM10. The monitoring results obtained from ground-based and vehicle-mounted lidars, as well as the HYSPLIT-4 backward trajectory combined with meteorological factors analysis are discussed. The accuracy and uncertainty of the air quality forecast model of NAQPMS, CMAQ, and CAMx during heavy air pollution were analyzed retrospectively. The results show that PM_{2.5} and sand dust in most cities in the south-central region contribute to severe pollution levels. The hourly peak concentrations of PM₁₀ in Zhangjiakou, Beijing, Shijiazhuang, Handan, and Zhengzhou were 1589, 864, 794, 738, and 766 $\mu g \cdot m^{-3}$, respectively. The respective hourly peak concentrations of $PM_{2.5}$ were 239, 319, 387, 321, and 380 $\mu g \cdot m^{-3}$. Ground static pressure field, high humidity, inversion, and other static and stable conditions, as well as sand dust transmitted from the northwest, were important pollution meteorological and weather factors. The monitoring data of ground-based lidar and vehicle-mounted lidar combined with the HYSPLIT-4 backward trajectory analysis showed that the air pollutant transmitted from the Southwest and Southeast during the heavy pollution period was primarily PM25. The air pollutant transmitted from the Northwest during the two sand dust processes. Moreover, the model of NAQPMS, CMAQ, and CAMx performed well in forecasting the heavy pollution process in the Beijing-Tianjin-Hebei region and its surrounding areas. However there are slight deviations for some individual cities, related to uncertainty in the meteorological model prediction, atmospheric chemical reaction mechanism, and pollution source list. Furthermore, the reduction in pollution source emissions caused by pollution emergency measures was also one of the main reasons for the overestimation.

Key words: Beijing-Tianjin-Hebei region; nested air quality prediction modeling system (NAQPMS); PM_{2.5}; air pollution meteorology; sand dust; back trajectory; lidar; forecast assessment

收稿日期: 2019-08-14; 修订日期: 2019-09-17

基金项目: 国家自然科学基金项目(41875164);国家重点研发计划项目(2017YFC0209805)

作者简介:朱媛媛(1981~),女,博士研究生,高级工程师,主要研究方向为环境质量预报和环境健康,E-mail:zhuyy@cnemc.cn

^{*} 通信作者, E-mail: gaoyx@ cnemc. cn

近年来,京津冀及周边区域频繁出现长时间、 大范围重污染过程,对人体健康和生产、生活造成 了很大影响,引起了政府、媒体和广大学者的广泛 关注,不少研究针对重污染过程的成因、来源、 PM_{2.5}污染特征或污染气象条件展开了分析讨 论[1~7]. 现有研究表明,区域地形和污染排放是京津 冀及周边重污染的主要原因,此外,地面受弱气压场 控制、高湿度、静小风、较低的混合层高度、逆温 等静稳天气条件也是秋冬季污染的重要原因[8~15]. 京津冀及周边区域污染主要来自于生活源、交通源 和工业源[16],二次转化在重污染的形成过程中起到 重要作用,二次无机离子和二次有机碳是导致重污 染的主要原因[17~20]. 京津冀地区主要受沿太行山东 侧的西南向输送通道影响[9],西南和东南路径为北 京典型污染传输通道^[8,21],PM_{2.5}在西南方向上的传 输通量最高,有时占总传输通量的60%以上[22].郑 州市冬季 PM。5的潜在污染源主要为北部的京津冀 传输通道城市,包括焦作、开封、新乡、鹤壁、濮 阳、安阳、邯郸和邢台[23]. 太原空气质量受西南方 向外来污染物输送的显著影响,汾渭平原的陕西汉 中、西安和山西的吕梁、临汾等地是重要潜在 源^[24].

京津冀及周边是我国大气污染防治的重点区域 一,包括北京市、天津市、河北省、山西省和山东 省全部城市、以及内蒙古自治区中部和河南省北部 部分城市,仅京津冀大气污染传输通道上就有28个 城市(以下简称"2+26"城市). 但已有研究多数仅 针对单个城市,污染分析的监测数据也多来自地面 监测单一维度. 由于重污染通常不是单一城市的静 态过程,多数出现在连片城市群间,而且单个城市不 仅受本地污染排放的影响,同时也受气象条件和外 来污染传输的影响,因此,在分析重污染过程时,宜 全面分析区域污染演变过程,可采用地面及激光雷 达等监测手段,利用多维监测数据结合气象条件进 行综合研究.此外,回顾重污染过程模式预报效果, 分析模式预报偏差原因,可有效提高预报准确率,有 利于政府管理部门根据预报结果制订并采取有针对 性地重污染应急响应措施,对区域大气污染进行综 合防治和管控,从而消减重污染期间污染物排放量, 缩短重污染持续时间,减低峰值浓度,进而改善环境 质量,保护人民身体健康.

以 PM_{2.5}为首要污染物的重污染叠加沙尘过程, 是加重污染过程的重要形式之一. 吴兑等^[25]的研究 表明,粗粒子气溶胶远距离传输可造成华南地区空 气的严重污染. 此外,长三角地区受天气系统、地面 及边界层气象条件共同作用也会受到西北沙尘传输 影响,出现沙尘重污染过程^[26].京津冀及周边地区地处华北平原,受西北沙尘长距离传输更为明显,沙尘过境时,不仅会使 PM₁₀浓度上升,也对 PM_{2.5}有所贡献^[27].北京地区在春季较容易经历沙尘传输影响,过程前期主要受西北气流作用或是蒙古气旋配合地面锋面导致外围沙尘南下,过程后期可能受偏南风作用下的污染回流影响,导致霾和沙尘混合污染的形成^[28,29].

2018 年 11 月 23 日至 12 月 4 日,京津冀及周边地区发生了一次重度及以上污染过程,与以往重污染过程相比,具有影响范围大、持续时间长的特点,且为 PM_{2.5}叠加两次沙尘传输的复合型污染过程.分析此次污染过程的特点和预报效果,对今后环境空气质量预报和重污染应急管控具有重要意义.为此,本文从首要污染物 PM_{2.5}和 PM₁₀的浓度变化特征和污染气象条件展开,从空气质量自动监测和激光雷达监测两方面入手,较为全面地分析了污染过程的演变,并对空气质量模式预报效果进行了回顾分析,讨论了模式预报不确定性的原因,通过提高区域和城市预报准确率,促进环境空气质量改善.

1 材料与方法

1.1 数据来源

空气质量数据采用中国环境监测总站("总站")国家空气质量监测网空气质量自动监测城市 审核数据,主要包括 AQI(air quality index)、PM_{2.5}和 PM₁₀,依据《环境空气质量标准》(GB 3095-2012)和《环境空气质量评价技术规范(试行)》(HJ 663-2013)进行评价. 激光雷达数据采用总站点位地基雷达及总站车载走航监测数据,气象资料来自韩国气象局天气实况分析. 数据分析处理采用 SPSS 19、Origin 2018 和 Excel.

1.2 模式与设置

空气质量预报基于全国空气质量预报预警系统,采用 NAQPMS (nested air quality prediction modeling system)模式、CMAQ(community multiscale air quality)模式和 CAMx (comprehensive air-quality model with extensions)模式. 3 个模式区域大小设置、网格数和分辨率相同,均为三层嵌套网格,覆盖东亚、中国中东部和京津冀区域,水平网格分辨率分别为 45、15 和 5 km. 模式中心经纬度为 25°N, 115°E,水平方向为 Lambert 投影方式,垂直方向为 Sigma-Z 地形追随坐标系. 采用清华大学 2016 年空气质量模式网格化全国污染源清单 MEIC (multiresolution emission inventory for China),精度 0. 25°× 0. 25°. 采用 WRF (weather research and forecasting

model)气象模式提供动力驱动,气象预报的初始条件、边界条件来自 NCEP (national centers for environmental prediction)全球气象预报分析资料 GFS(global forecast system). 使用 HYSPLIT-4(hybrid single particle lagrangian integrated trajectory model-4) 后向轨迹模式向后追踪 24 h 污染轨迹,轨迹起始点经纬度 39.93°N, 116.33°E,高度分别为 100、500 和1 000 m. 采用美国国家海洋和大气管理局 NOAA (national oceanic and atmospheric administration)全球气象资料同化系统 GDAS(global data assimilation system)气象资料,精度 1°×1°,数据来源 https://

2 结果与讨论

2.1 污染演变过程分析

ready. arl. noaa. gov/archives. php.

2018年11月23日至12月4日,京津冀及周边地区出现了一次大范围、长时间、PM_{2.5}叠加两次沙尘传输的重度及以上污染过程,图1(a)为京津冀及

周边区域部分城市 PM25和 PM10小时变化情况. 此 次重污染过程起始于11月23日,河北中南部城市 石家庄、邯郸、邢台、衡水和河南北部安阳首先出 现以 PM, 5为首要污染物的中至重度污染, PM, 5小 时浓度最高值 245 μg·m⁻³ (安阳). 11 月 24~25 日,区域大部城市污染加重,PM,5基本维持重度污 染水平. 11 月 26 日傍晚至 11 月 28 日,区域大部地 区受到西北沙尘传输过程影响,沙尘过境城市 PM₁₀ 浓度迅速上升[图1(b)],先后达到严重污染水平, 自北向南张家口、北京、石家庄、邯郸和郑州 PM₁₀ 小时浓度峰值先后达到1589、864、794、709和656 μg·m⁻³. 11 月 29 日至 12 月 2 日,区域北部受小股 弱冷空气影响,空气质量逐步改善至良,其他地区仍 维持中至重度污染,个别城市严重污染,首要污染物 为 PM_{2.5}或 PM₁₀. 12 月 3 日凌晨起, 受伴随冷空气 的沙尘过程影响,区域大部城市再次出现以 PM10 为 首要污染物的短时严重污染,自北向南张家口、北 京、石家庄、邯郸和郑州 PM10小时浓度峰值先后达

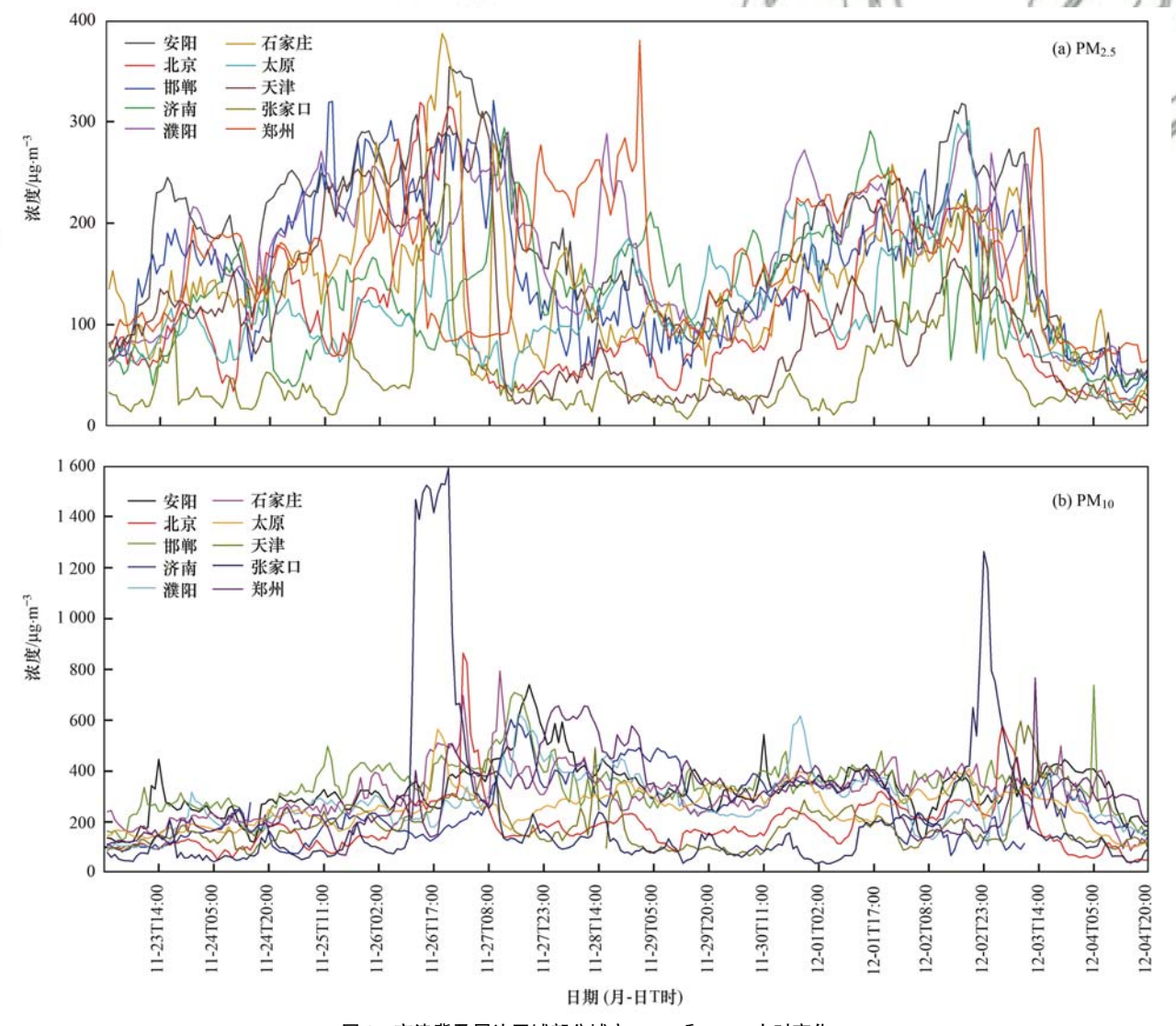


图 1 京津冀及周边区域部分城市 $PM_{2.5}$ 和 PM_{10} 小时变化

Fig. 1 Time series of PM_{2.5} and PM₁₀ concentrations in parts of cities in Beijing-Tianjin-Hebei Region

到1 263、580、499、738 和 766 μ g·m⁻³. 12 月 4 日 凌晨起,受冷空气持续影响,各项污染物浓度均下降;至 12 月 4 日午间,区域大部地区空气质量转为良至轻度污染,污染过程基本结束.整个过程中,张家口、北京、石家庄、邯郸和郑州 $PM_{2.5}$ 小时峰值浓度分别为 239、319、387、321 和 380 μ g·m⁻³.

京津冀及周边区域秋冬季的重污染通常以 $PM_{2.5}$ 为首要污染物,但本次重污染中经历了两次沙尘传输过程,因此以 $PM_{2.5}/PM_{10}$ 比值考量沙尘传输过程影响,当 $PM_{2.5}/PM_{10}$ 比值大于0.5时,主要为 $PM_{2.5}$ 影响阶段,反之为 PM_{10} 影响阶段 $[^{30,31}]$.北京市重污染

过程中 $PM_{2.5}$ 浓度、 PM_{10} 浓度、以及 $PM_{2.5}/PM_{10}$ 比例 随时间变化情况见图 2. 从中可知,第一次沙尘传输过程前, $PM_{2.5}/PM_{10}$ 比值范围 0. 55 ~ 1. 14,首要污染物主要为 $PM_{2.5}/PM_{10}$ 比值范围 0. 55 ~ 1. 14,首要污染物主要为 $PM_{2.5}$. 11 月 27 日 01:00 至 11 月 30 日 03:00,以及 12 月 3 日 03:00 至 12 月 4 日 13:00 的大部分时段,受沙尘传输过程影响, PM_{10} 浓度急剧上升, $PM_{2.5}/PM_{10}$ 比值小于 0. 5. 第一次沙尘传输过程中,北京 PM_{10} 小时浓度峰值出现在 11 月 27 日 01:00,浓度为 864 μ g·m $^{-3}$, $PM_{2.5}/PM_{10}$ 比值 0. 20;第二次沙尘传输北京过程中 PM_{10} 峰值出现在 12 月 3 日 04:00,浓度为 580 μ g·m $^{-3}$, $PM_{2.5}/PM_{10}$ 比值 0. 24.

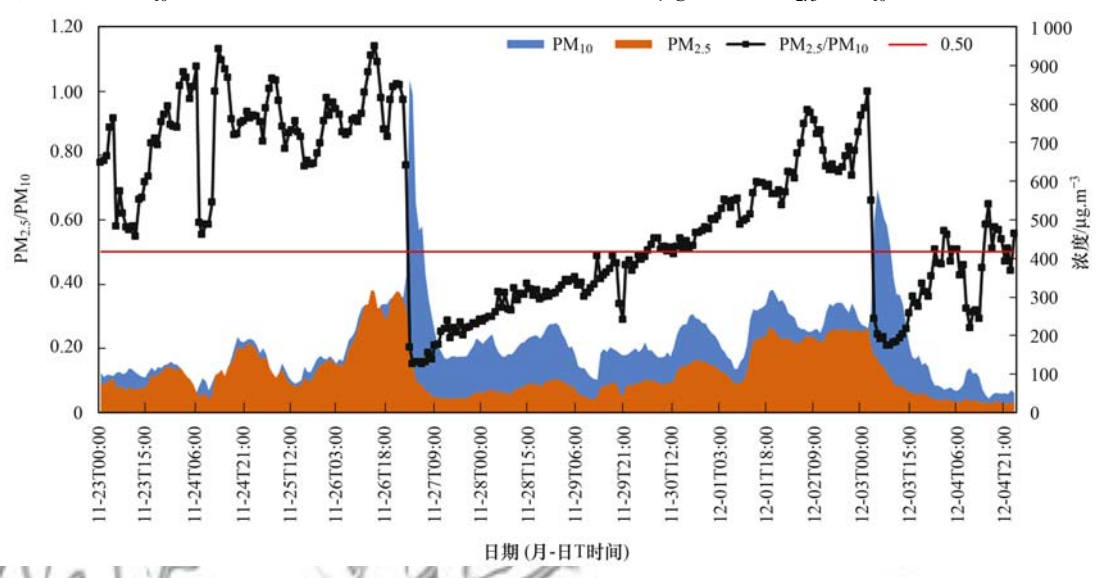


图 2 北京市 PM_{2.5}、PM₁₀浓度和 PM_{2.5}/PM₁₀比值时间序列

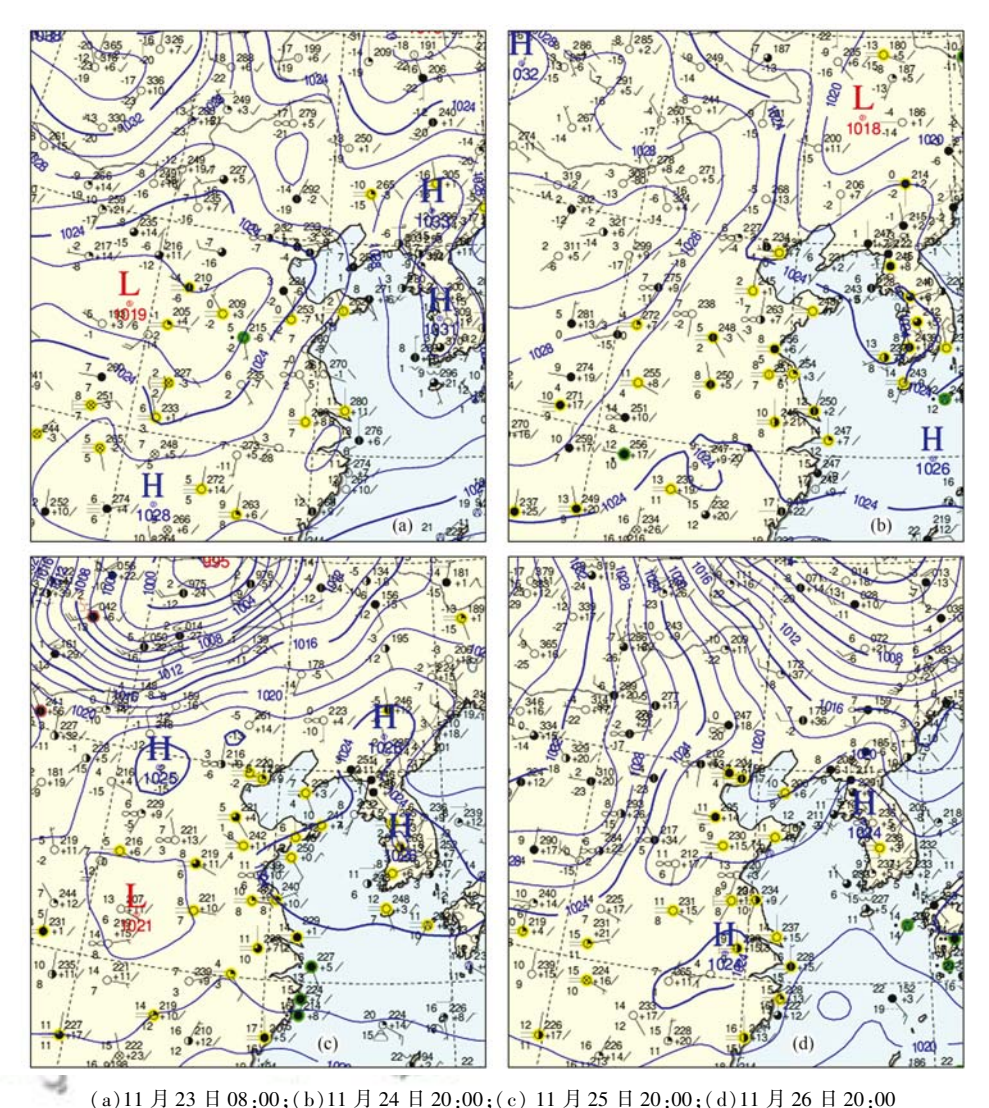
Fig. 2 Times series of PM_{2.5} and PM₁₀ concentrations in Beijing

此外,对比两次沙尘传输过程中典型城市 PM₁₀浓度峰值[图 1(b)]、污染传输路径和速度发现,第一次沙尘过程对京津冀及周边区域颗粒物浓度及空气质量的影响要大于第二次沙尘传输过程.第一次沙尘过程中,以张家口为代表的北部城市 PM₁₀小时浓度峰值更高,河南和山东省大部城市也受到第一次沙尘传输过程影响出现污染堆积,空气质量以中至重度污染为主,局地达到严重污染水平.此次重污染过程中,京津冀传输通道"2+26"城市中保定、唐山、廊坊、邢台、石家庄、安阳、天津、邯郸、开封、焦作、郑州和菏泽等 12 个城市 AQI 日均值达到严重污染水平,其余 16 个城市均达到重度污染水平.河南安阳、濮阳和山东菏泽等城市污染持续时间最长,持续 8 d 重度污染.

2.2 污染天气过程特征分析

2018年11月23日,京津冀及周边地区500 hPa 高空位于槽前,地面受低压控制[图3(a)],受空中 西南暖湿气流和地面水平辐合共同影响,河北中南 部至河南北部大气扩散条件较差,有利于污染物累 积,污染物浓度呈现南高北低分布. 11 月 24 日傍晚 [图 3 (b)],区域水平辐合加强,大气静稳,夜间湿度增大,导致颗粒物吸湿增长和二次转化作用加强,区域污染持续加重,多个城市达到重度污染水平,河南部分城市出现严重污染. 11 月 25 日早晨,受高压前部弱冷空气影响,区域北部扩散条件略有改善;夜间,受低空西南暖湿气流影响,地面弱气压场[图 3 (c)],维持高湿、静稳的不利扩散条件,在本地累积、偏南风区域输送、颗粒物吸湿增长和二次转化共同作用下,污染物在太行山-燕山山前堆积,区域污染形势整体加剧,河北南部达到严重污染. 11 月 26 日夜间开始,地面冷空气东移南下[图 3 (d)],PM_{2.5}浓度降低,而该股冷空气携带上游沙尘过境,叠加本地扬尘,PM₁₀浓度急剧升高,多个城市 AQI值达到 500 峰值.

11月27日,伴随地面冷高压持续向南推进[图4(a)],上游沙尘和细颗粒物持续输送,区域中南部污染物浓度暴发式增长,石家庄、济南和郑州 AQI 先后达到500峰值.11月28日,中层天气形势转为



月11 万 23 日 08:00;(b)11 万 24 日 20:00;(c) 日 万 23 日 20:00;(d)日 万 26 日 20: **图 3 污染过程期间地面天气形势**

Fig. 3 Surface field pressure pattern in heavy air pollution

槽前西南气流控制[图 4(b)],区域中南部受不断发展北伸的倒槽控制[图 4(c)],风力微弱,近地面逆温,水平和垂直方向均不利于污染物扩散,前期传输至此的污染物仅靠粗颗粒物自身重力沉降无法达到污染浓度快速下降的效果,因此在河南北部和山东西部形成污染堆积,空气质量以重度污染为主,局地达到严重污染. 11 月 29 日凌晨,在新一轮弱冷空气作用下[图 4(d)],区域扩散条件自北向南依次改善,高浓度污染区向南推移至河南中南部,京津冀及周边地区空气质量以中度污染为主.

11 月 30 至 12 月 1 日,地面弱气压场[图 5 (a)],扩散条件不利,前期沙尘和细颗粒物污染尚未彻底消散,仍残留在区域中南部,而地面东北高压又带来了小股偏东气流[图 5 (b)],残留污染叠加回流污染气流,再次导致河北南部和河南北部等太行山脉东侧城市的重度污染. 12 月 2 日夜间起,地面冷锋过境[图 5 (c)],受锋后冷高压影响,降湿效

果显著,大气扩散条件改善,PM_{2.5}浓度持续下降,与此同时受上游沙尘传输影响,PM₁₀浓度陡升,但由于传输路径及速度不同,未达到前期污染水平. 12 月3 日白天至 12 月4 日上午,在地面冷高压不断作用下[图 5(d)],大气扩散条件自北向南依次改善,同时上游沙尘伴随冷高压前锋不断向南推移,下游地区在经历短时污染加重之后,空气质量自北向南依次好转. 12 月 4 日 12:00,区域大部空气质量良到轻度污染,南部局地中度污染,京津冀及周边区域的污染过程逐步结束.

2.3 污染传输分析

重污染过程期间,在北京及周边进行激光雷达监测. 2018年11月24日"北京-天津-霸州-固安-北京"车载激光雷达走航路线结果如图6所示,去程北京至天津路段,消光系数相对较低,表明细颗粒物浓度相对较低,行至霸州路段时消光系数明显增大,颗粒物浓度显著升高. 回程霸州至北京路段,两城市

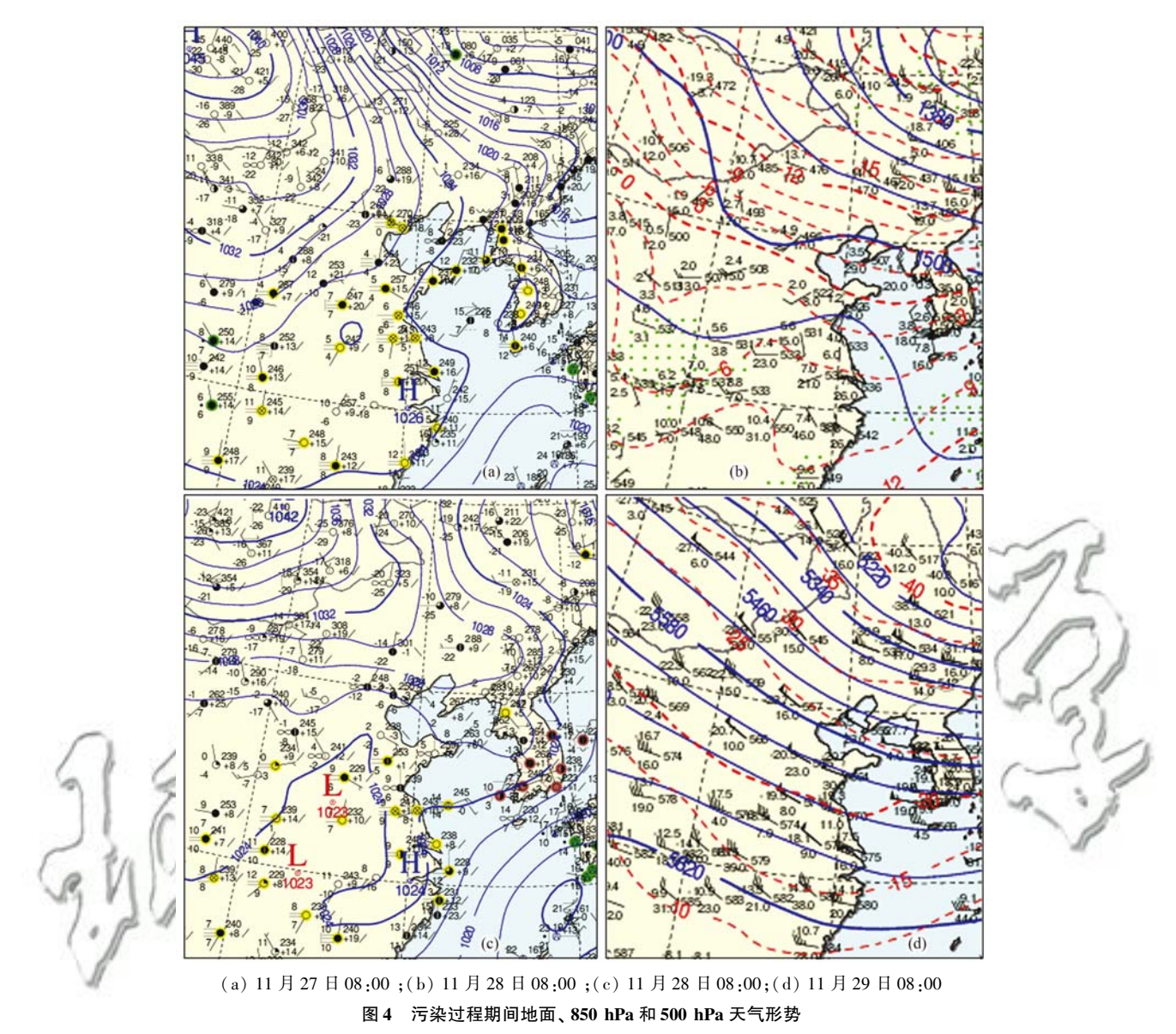


Fig. 4 Surface field pressure, 850 hPa pressure, and 500 hPa pressure pattern in heavy air pollution

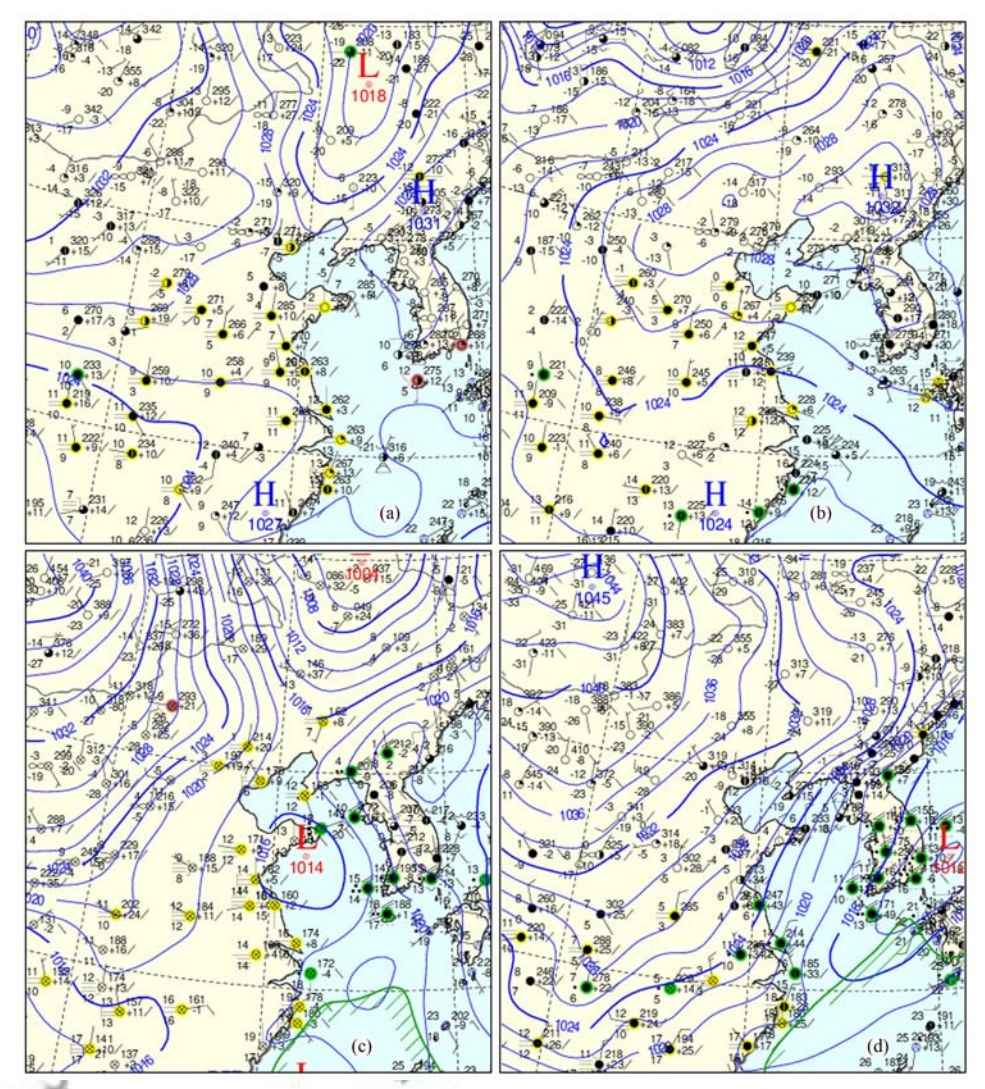
消光系数均抬升至较高水平,北京市消光系数较去程显著增大.结合风场分析可知,走航期间 0.5 km 高度以下有明显的风向转换,由 3~4级偏北风转为 3~4级偏南风,北京一定程度上受霸州等偏西南方向近地面传输影响,颗粒物浓度升高.同时,在天津至霸州和霸州至北京路段,可见高空 1 km 左右存在颗粒物传输带,与本地近地面污染物融合,加重当地污染.

11月26日08:00起,受较强西北气流影响,沙尘入境河北西北部地区,"北京六环绕行"走航结果见图7,从中可知,污染物主要集中在1.4 km以下,六环沿线全程消光系数普遍处在较高水平,颗粒物浓度较高,0.6~1.0 km 上空存在沙尘污染带.15:30左右,颗粒物消光系数迅速减小,近地面退偏振比明显升高,表明有沙尘过境,高空沙尘将 PM_{2.5}污染物压至0.2 km以下,北京地区近地面污染物加

速积累.

根据总站地基雷达监测结果(图 8),11 月 26 日全天北京地区近地面消光系数较高,12:00 左右退偏振比明显升高,15:00 高空沙尘沉降在 0.5 km左右高度.11 月 27 日 00:00 左右,沙尘沉降至近地面,污染达到峰值,随后强度随时间逐渐减弱.12 月 3 日 00:00 左右,总站地基雷达监测到沙尘再次入境,随后边界层内污染物主要以粗颗粒物为主,12 月 3 日 12:00 后,随着冷空气进入,北京地区污染物逐渐扩散清除.

采用 HYSPLIT-4 后向轨迹模型进一步对部分时刻北京的污染气团来向进行分析,结果见图 9. 此次重污染过程中北京 $PM_{2.5}$ 浓度峰值浓度 311 $\mu g \cdot m^{-3}$ 出现在 2018 年 11 月 26 日 14:00,如图 9 (a) 所示,该时刻高空1 000 m、低空 500 m 和低空 100 m 污染气团均来自西南方向的河北中南部和河



(a) 11月30日08:00;(b) 12月1日08:00;(c) 12月2日23:00;(d) 12月4日08:00 图 5 污染过程期间地面天气形势

Fig. 5 Surface field pressure pattern in heavy air pollution

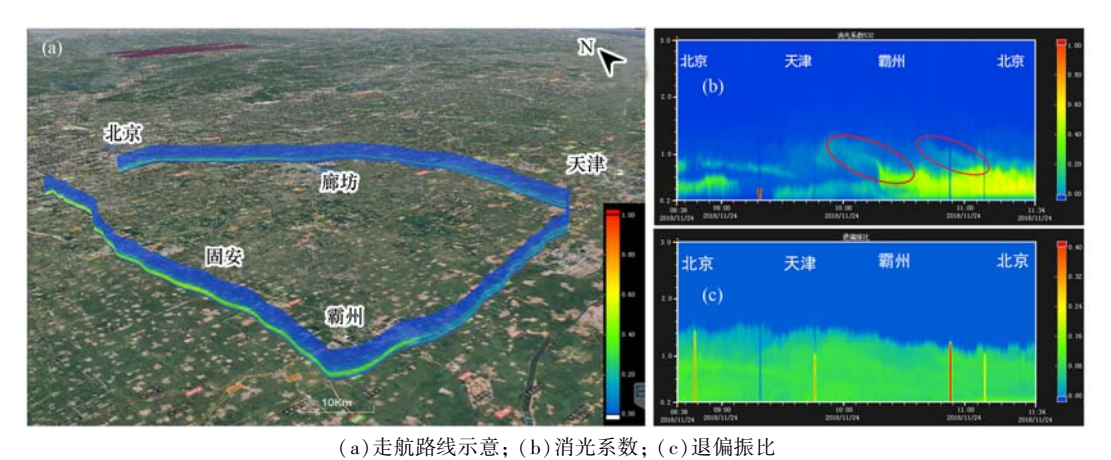


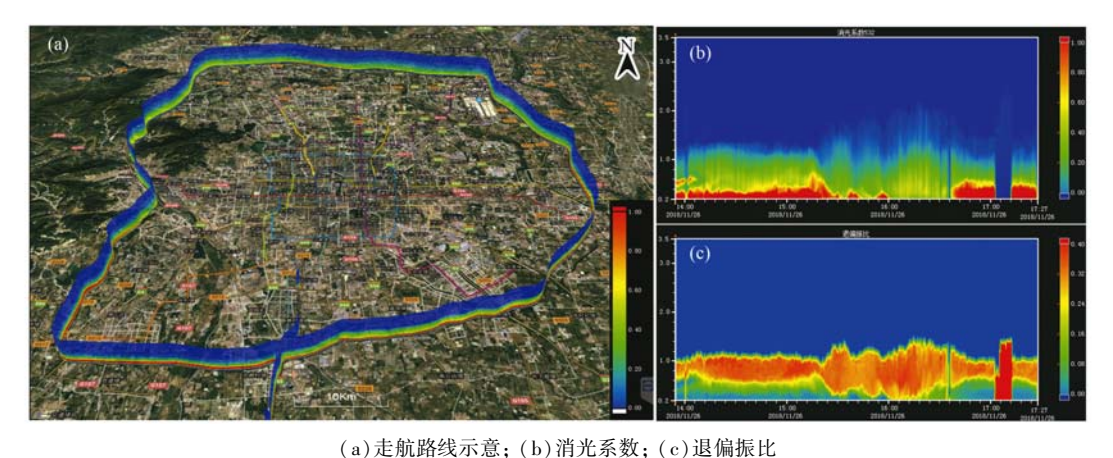
图 6 2018 年 11 月 24 日"北京-天津-霸州-固安-北京"走航监测结果

Beijing-Tianjing-Bazhou-Guan-Beijing on Nov. 24, 2018

Fig. 6 Extinction coefficients and depolarization ratio observed by mobile lidar along route of

南北部. 如图 9(b) 所示,第一次沙尘过程,气团传输距离较远,移动速度较快,由新疆天山北麓,经多个沙源地进入京津冀及周边区域. 12 月 2 日 00:00 [图 9(c)],北京本地污染叠加东南方向回流污染

气团,再次导致了重度污染. 2018 年 12 月 3 日 04:00[图 9(d)],北京出现本次重污染中第二次沙尘过程的 PM₁₀峰值,对比图 9(b)和图 9(d)可以发现,该时段污染气团也是来自西北方向,但移动速度



(4) 足别的线外态;(5) 相见尔奴;(6) 医侧弧比

图 7 2018 年 11 月 26 日北京六环绕行走航监测结果

Fig. 7 Extinction coefficients and depolarization ratio observed by mobile lidar around Sixth Ring Road on Nov. 26, 2018

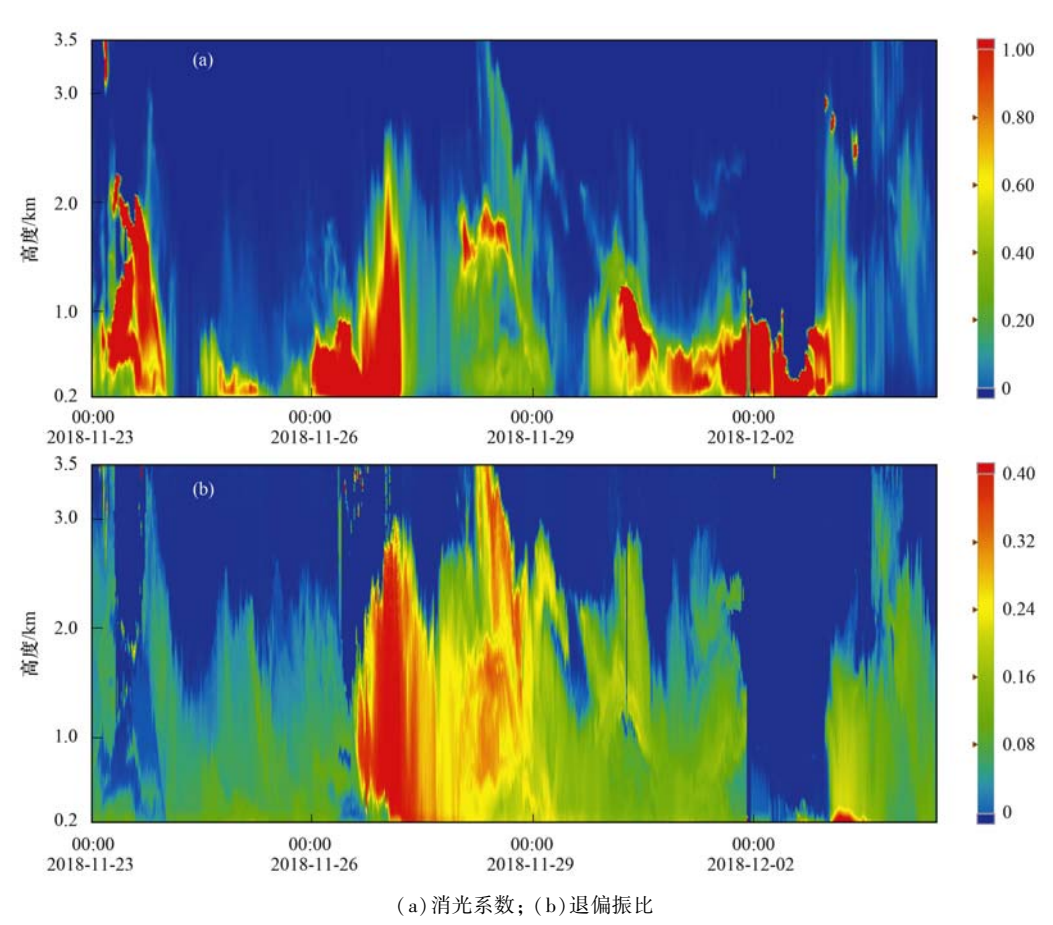


图 8 中国环境监测总站地基雷达监测结果

Fig. 8 Extinction coefficients and depolarization ratio observed by lidar located in China national environmental monitoring center (CNEMC)

较慢,传输距离较近,沙尘携带的粗颗粒物在传输过程中部分沉降,因此北京第二次沙尘过程 PM_{10} 浓度峰值 632 $\mu g \cdot m^{-3}$ 低于第一沙尘浓度峰值 147 $\mu g \cdot m^{-3}$.

2.4 污染过程预报效果分析

选取河北北部张家口、北京、天津、河北中部石家庄、河北南部邯郸、山东西部济南、河北、山东和河南三省交界地区城市濮阳、以及河南北部郑州等8个典型城市,分析重污染过程期间NAQPMS、

CMAQ和 CAMx 这 3 个模式对京津冀及周边地区 PM_{2.5}浓度的预报效果,部分城市模式 24 h PM_{2.5}预报结果与实况小时监测结果对比见图 10. 从中可知,2018年11月23~26日白天期间,3 个模式对京津冀中北部城市预报效果均较好,污染起始时间、发展演变趋势总体一致,但对河北南部邯郸和河南北部濮阳的污染形势预报偏低.11月26日晚间至11月28日本轮重污染第一次沙尘传输过程期间,模式对大部分城市预报偏低,这主要是由于模式

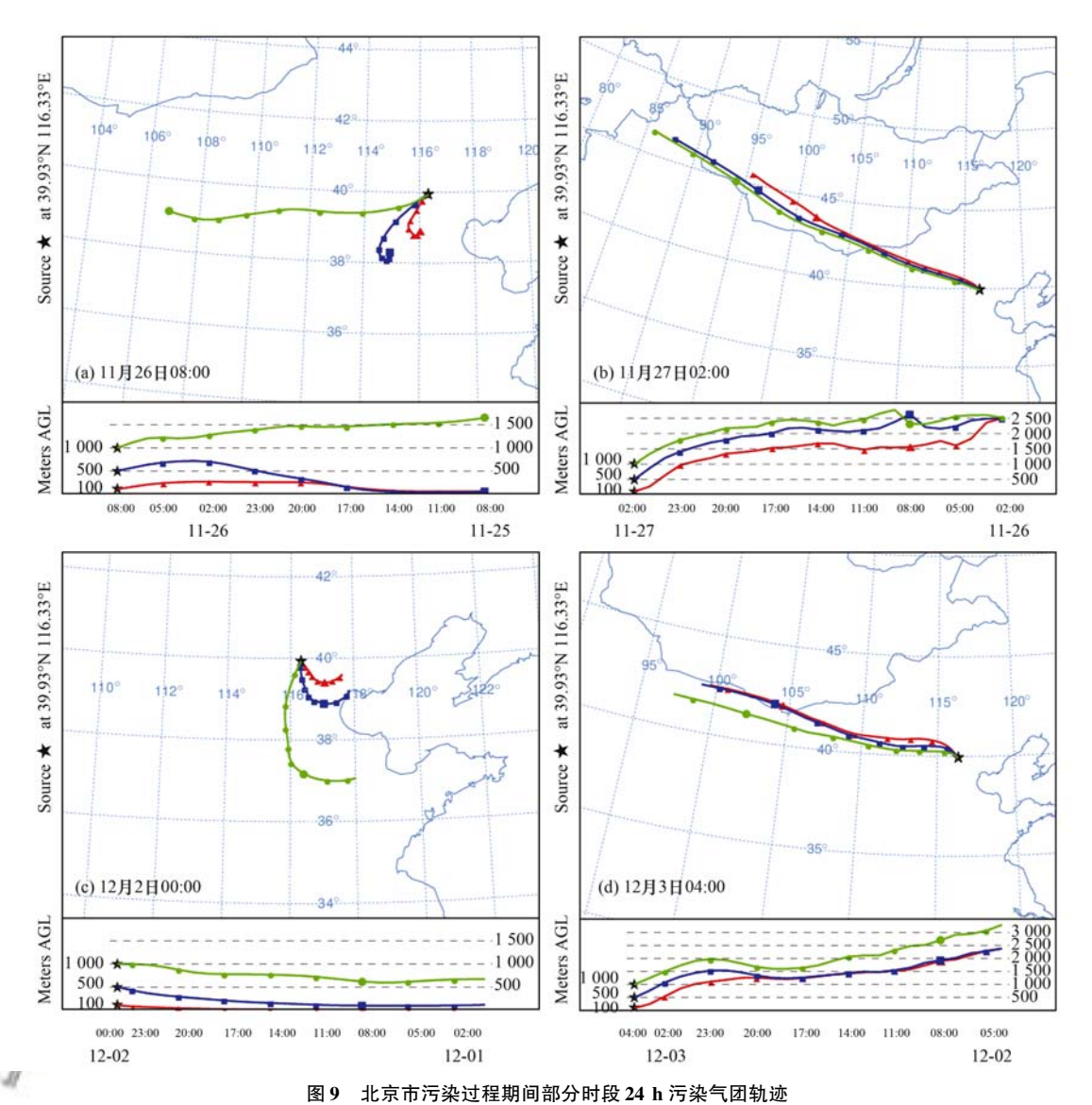


Fig. 9 The 24 h backward trajectories determined by HYSPLIT-4 model arriving at Beijing in typical period in heavy air pollution

PM_{2.5}预报对沙尘传输和本地扬尘所增加的 PM_{2.5}预测不足. 11 月 28 日至 12 月 1 日期间, 3 个模式对北京、天津和河北典型城市预报整体偏高,主要原因是此期间区域北部白天有多次小股弱冷空气扰动,而模式对局地较小扰动的物理化学机制还不非常清楚,无法准确预测此期间污染物小时浓度的变化. 同时,模式对京津冀下游东南方向的济南和濮阳预报总体偏低,可能是模式未能预测到沙尘传输滞留期间,细颗粒物浓度的攀升及维持. 12 月 2~3 日期间,模式对张家口、北京污染低估,对其它城市均略有高估,这主要是由于在此期间京津冀北部区域遭遇了本次重污染过程的第二次沙尘传输影响,模式对受沙尘传输过程影响的城市 PM_{2.5}浓度升高预测不足. 此外, 3 个模式均能较好地预测到 12 月 3 日午后至 12 月 4 日污染过程的消散.

采用相关系数(R)、均方根误差(RMSE)、平均偏差(MB)和标准化平均偏差(NMB)对模式数

值日均预报结果进行评估. 典型城市 $PM_{2.5}$ 和 PM_{10} 模式 24 h 预报评估结果见表 1 和表 2. 如表 1 所示 NAQPMS 模式 $PM_{2.5}$ 预报值与实际监测值的 Pearson 相关系数(双尾检验,显著性水平 0.05)为 $0.459 \sim 0.778$,CMAQ 模式为 $0.228 \sim 0.680$,CAMx 模式为 $0.301 \sim 0.686$,均与实况具有较好的相关性. RMSE 值范围分别为 $9 \sim 23$ 、 $9 \sim 24$ 和 $9 \sim 27$ µg·m⁻³,表明模式略有高估. MB 值范围分别为 $-2 \sim 2$ 、 $-3 \sim 3$ 和 $-3 \sim 4$ µg·m⁻³,NMB 值范围分别为 $-16\% \sim 25\%$ 、 $-26\% \sim 38\%$ 和 $-25\% \sim 60\%$,表明模式 $PM_{2.5}$ 预报值与实际监测值趋势总体一致,预报效果较好. 3 个模式对比而言,NAQPMS模式对此次重污染过程 $PM_{2.5}$ 浓度的预报效果要略好于其他模式.

如表 2 所示, 3 个模式 PM_{10} 预报值与实际监测值的相关系数相对较差, RMSE 值范围分别为 24 ~ 57、25~57 和 29~56 $\mu g \cdot m^{-3}$, 表明模式 PM_{10} 预报

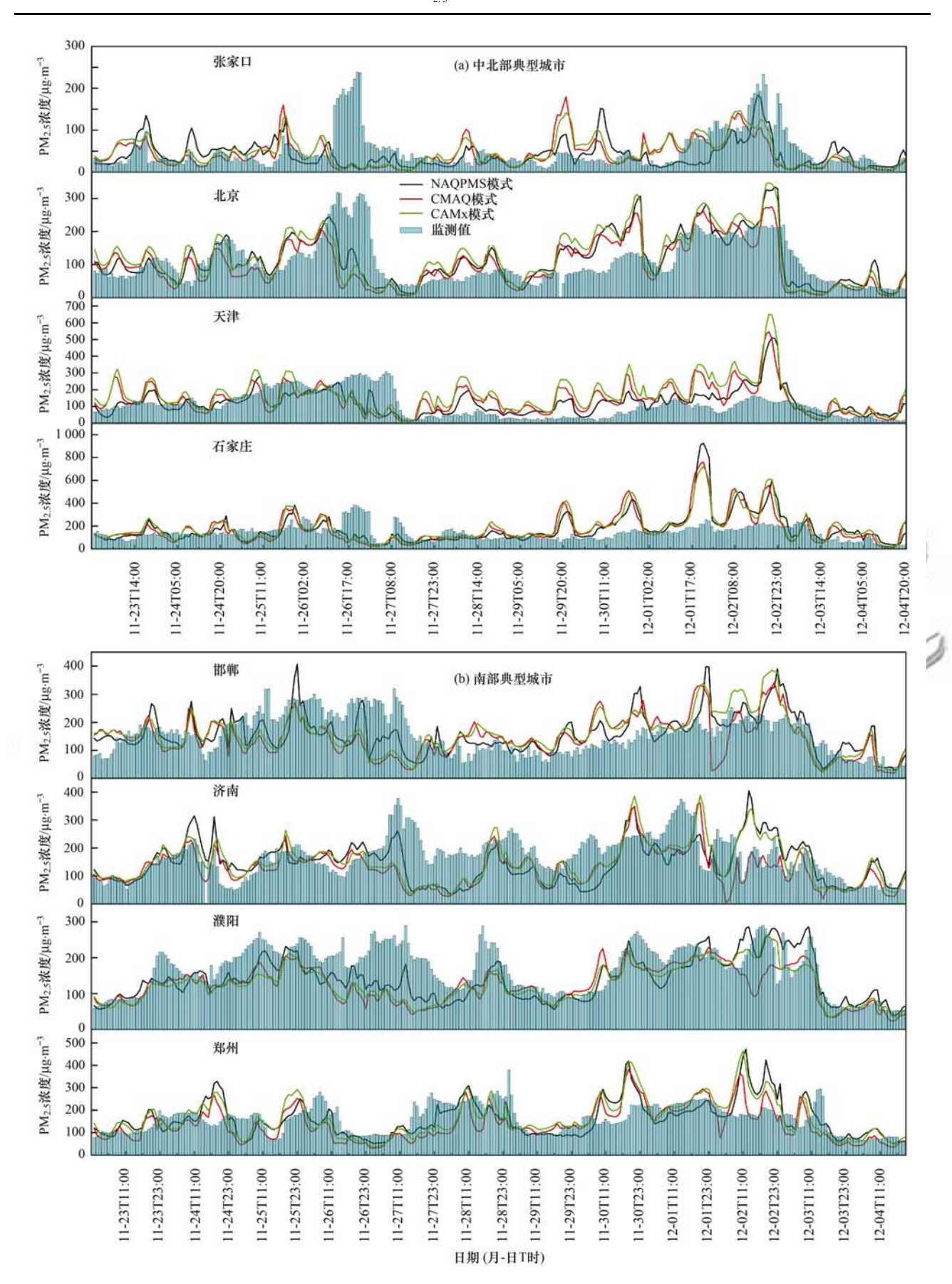


图 10 张家口、北京、天津、石家庄和邯郸、济南、濮阳、郑州 NAQPMS、CMAQ 和 CAMx 模式 24 h PM_{2.5}预报与实况监测小时结果对比

Fig. 10 Comparison of PM_{2, 5} hourly concentration with NAQPMS,CMAQ, and CAMx between predicted and measured data in Zhangjiakou, Beijing, Tianjin, Shijiazhuang, Handan, Jinan, Puyang, and Zhengzhou

有高估. MB 值范围分别为 $-11 \sim -2 \times -12 \sim -1$ 和 $-11 \sim 1 \mu g \cdot m^{-3}$, NMB 值范围分别为 $-72\% \sim -20\% \times -72\% \sim -10\%$ 和 $-68\% \sim 10\%$, 表明模式 PM_{10} 预报值与实际监测值趋势总体一致, 但存在预报偏差. PM_{10} 模式预报效果差于 PM_{25} , 主要是由于

模式对沙尘发展过程的动态演变趋势模拟预报存在一定偏差,因此影响 PM_{10} 预报效果,此外,目前模式在计算 PM_{10} 浓度时没有把沙尘过程带来的 PM_{10} 计算进去,造成此次 $PM_{2.5}$ 叠加两次沙尘的重过程中 PM_{10} 的预报存在一定偏差.

表 1 NAQPMS、CMAQ 和 CAMx 模式 PM_{2.5} 24 h 预报结果评估

Table 1	Evaluation of 24 h	PM ₂ ₅	forecasting	results with N.	AOPMS	CMAO.	and CAMx

		NAQPI	IS 模式		CMAQ 模式				CAMx 模式			
城市	R	RMSE /µg·m ⁻³	MB /μg·m ⁻³	NMB /%	R	RMSE /µg·m ⁻³	MB /μg•m ⁻³	NMB /%	R	RMSE /µg·m ⁻³	MB /μg•m ⁻³	NMB /%
张家口	0. 426	9	- 1	-16	0. 421	9	- 1	- 15	0.490	9	0	-6
北京	0.778	12	2	23	0.680	12	1	8	0.686	15	2	29
天津	0. 549	16	1	19	0.375	21	3	38	0.301	27	4	60
石家庄	0.443	23	2	25	0. 351	24	2	25	0.359	24	3	33
邯郸	0. 583	13	1	6	0. 228	17	0	-3	0.307	18	1	6
济南	0. 474	12	1	9	0.560	10	0	-5	0. 538	12	1	_10
濮阳	0.667	13	-2	- 16	0.634	15	-3	- 26	0.629	15	-3	-25
郑州	0.679	12	1	9	0.663	11	- 1	-7	0. 628	14	(Id	7 10

表 2 NAQPMS、CMAQ 和 CAMx 模式 PM₁₀ 24 h 预报结果评估

Table 2 Evaluation of 24 h PM₁₀ forecasting results with NAQPMS, CMAQ, and CAMx

	-	MS 模式	CMAQ 模式					CAMx 模式				
城市	p/	RMSE	MB	NMB	al a	RMSE	MB /	NMB	Q V	RMSE	MB	NMB
	10	/μg•m ⁻³	$/\mu g \cdot m^{-3}$	1%	1/1/	/µg•m ⁻³	/µg⋅m ⁻³ /	1%	1 % 4	$/\mu g \cdot m^{-3}$	$/\mu g \cdot m^{-3}$	/%
张家口	- 0. 057	57	-9	-72	-0.096	57	-9	/ -72	-0.062	56	-9 -	-68
北京	0. 122	26	-3	-25	0.074	28	-4 /	- 36	0.056	27	-2	- 19
天津	- 0. 027	24	-2	-20	-0. 143	25	-1	-10	-0.184	29	1	10
石家庄	0. 237	39	-7	-31	0.170	40	-7	-33	0. 147	36	-5	-26
邯郸	0.062	48	-11	-47	-0.064	53	-12	- 52	-0.107	49	-11	-45
济南	-0.154	42	-8	- 40	0. 217	44	- 10	-49	0.064	39	-7	-38
濮阳	-0.006	38	-8	-43	0. 128	41	-9	- 50	0.021	40	-9	-47
郑州	-0.037	44	-7	- 37	0.009	47	-9	-45	-0.074	42	-6	- 30

从上述分析可以看出,3个模式基本上均能够 预测到整个重污染过程的时空演变,但对不同城市 不同污染阶段预报效果不尽相同,个别城市的污染 起始时间、积累速度、浓度峰值、改善时间、以及 沙尘区域传输预报结果也略有偏差,这也是空气质 量预报多采用多模式和集合预报的原因. 不同城市 预报效果不同,以及小时浓度预报偏差产生的可能 原因主要是:①气象模式预报存在不确定性:气象模 式 WRF 边界层模拟准确率以及沙源地起沙过程预 报有待进一步提高. ②大气化学反应机制存在不确 定性:局地较小扰动的物理化学机制不明晰,区域空 气质量模式对小尺度城市级的精细化预报准确度有 待提高. ③排放清单的不确定:排放源清单中污染 物排放日变化特征缺乏或不准确,可能导致小时浓 度预报不准:此外模式预报未考虑人为污染源的改 变,因此,此次重污染过程中各地区停产、限产、错 峰生产等各种应急响应措施的执行也会导致预报 偏差.

3 结论

- (1)2018 年 11 月 23 日至 12 月 4 日,京津冀及周边地区出现了一次大范围、长时间重度及以上污染过程, $PM_{2.5}$ 叠加两次沙尘传输,导致京津冀传输通道"2 + 26"城市均达到重至严重污染水平.第一次沙尘传输对京津冀及周边区域颗粒物浓度及空气质量的影响要大于第二次沙尘传输过程,整个重污染期间,张家口、北京、石家庄、邯郸和郑州 PM_{10} 小时浓度峰值为 1589、864、794、738 和 766 μ g·m⁻³, $PM_{2.5}$ 小时浓度峰值浓度为 239、319、387、321 和 380 μ g·m⁻³.
- (2)气象条件对区域重污染的形成、发展及消退具有很大影响,地面弱气压场、高湿、逆温等静稳天气条件和西北路径沙尘传输是导致此次重污染过程的主要气象和天气因素.
- (3)激光雷达地基和车载走航监测,结合地面 环境空气质量自动监测和气象因素分析可较好地观

测和研究区域污染传输情况,揭示了该次重污染过程中,区域西南、西北和东南传输通道发生了污染物传输. HYSPLIT 后向轨迹表明,北京在以 PM_{2.5}为首要污染物的重污染阶段主要受西南和东南方向污染输送影响,在 PM₁₀为首要污染物的重污染阶段主要受西北方向沙尘传输影响.

(4) NAQPMS、CMAQ 和 CAMx 这 3 个模式均可预测到重污染过程的时空演变,但对个别城市的污染起始时间、积累速度、浓度峰值、改善时间、以及沙尘传输预报略有偏差. 这与气象模式预报、大气化学反应机制、污染源清单的不确定性和重污染应急响应导致的污染源排放改变有一定关系.

参考文献:

- [1] 王占山,李云婷,孙峰,等. 2015年1月下旬北京市大气污染过程成因分析[J]. 环境科学学报,2016,36(7):2324-2331.
 - Wang Z S, Li Y T, Sun F, *et al.* Formation mechanism of air pollution episodes in Beijing in late January 2015 [J]. Acta Scientiae Circumstantiae, 2016, **36**(7): 2324-2331.
- [2] 薛亦峰,周震,聂滕. 2015年12月北京市空气重污染过程分析及污染源排放变化[J]. 环境科学,2016,37(5):1593-
 - Xue Y F, Zhou Z, Nie T, et al. Exploring the severe Haze in Beijing during December, 2015: Pollution process and emissions variation [J]. Environmental Science, 2016, 37 (5): 1593-1601.
- [3] Hua Y, Wang S X, Jiang J K, et al. Characteristics and sources of aerosol pollution at a polluted rural site southwest in Beijing, China[J]. Science of the Total Environment, 2018, 626: 519-527.
- [4] 王燕丽,薛文博,雷宇,等. 京津冀区域 PM_{2.5} 污染相互输送 特征[J]. 环境科学, 2017, **38**(12): 4897-4904. Wang Y L, Xue W B, Lei Y, *et al.* Regional transport matrix study of PM_{2.5} in Jingjinji region, 2015 [J]. Environmental Science, 2017, **38**(12): 4897-4904.
- [5] Kim B U, Bae C H, Kim H C, et al. Spatially and chemically resolved source apportionment analysis: case study of high particulate matter event [J]. Atmospheric Environment, 2017, 162: 55-70.
- [6] 王郭臣, 王东启, 陈振楼. 北京冬季严重污染过程的 PM_{2.5} 污染特征和输送路径及潜在源区[J]. 中国环境科学, 2016, **36**(7): 1931-1937.
 - Wang G C, Wang D Q, Chen Z L. Characteristics and transportation pathways and potential sources of a severe $PM_{2.5}$ episodes during winter in Beijing [J]. China Environmental Science, 2016, 36(7); 1931-1937.
- [7] 滑申冰, 师华定, 王堃, 等. 2016——2017 年冬季华北地区 一次重污染过程的气象条件分析[J]. 气象与环境科学, 2018, **41**(4): 47-53.
 - Hua S B, Shi H D, Wang K, et al. Analysis of meteorological conditions for a heavy pollution process in North China during 2016-2017 winter [J]. Meteorological and Environmental Sciences, 2018, 41(4): 47-53.
- [8] 徐冉,张恒德,杨孝文,等. 北京地区秋冬季大气污染特征 及成因分析[J]. 环境科学, 2019, **40**(8): 3405-3414. Xu R, Zhang H D, Yang X W, *et al.* Concentration characteristics of PM_{2.5} and the causes of heavy air pollution

- events in Beijing during autumn and winter [J]. Environmental Science, 2019, 40(8): 3405-3414.
- [9] 皮冬勤, 陈焕盛, 魏巍, 等. 京津冀一次重污染过程的成因和来源[J]. 中国环境科学, 2019, **39**(5): 1899-1908. Pi D Q, Chen H S, Wei W, *et al.* The causes and sources of a heavy-polluted event in Beijing-Tianjin-Hebei region[J]. China Environmental Science, 2019, **39**(5): 1899-1908.
- [10] 梁晓宇,单春艳,孟瑶,等. 唐山一次冬季重污染过程污染特征及成因分析[J]. 中国环境科学, 2019, **39**(5): 1804-1812.
 - Liang X Y, Shan C Y, Meng Y, et al. Characteristics and formation mechanism of a heavy winter air pollution event in Tangshan [J]. China Environmental Science, 2019, 39 (5): 1804-1812.
- [11] 贾小芳, 颜鹏, 孟昭阳, 等. 2016 年11—12 月北京及周边重 污染过程 PM_{2.5}特征[J]. 应用气象学报, 2019, **30**(3): 302-315
 - Jia X F, Yan P, Meng Z Y, et al. Characteristics of PM_{2.5} in heavy pollution events in Beijing and surrounding areas from November to December in 2016 [J]. Journal of Applied Meteorological Science, 2019, **30**(3): 302-315.
- [12] 梅梅, 朱蓉, 孙朝阳. 京津冀及周边"2 + 26"城市秋冬季大气重污染气象条件及其气候特征研究[J]. 气候变化研究进展, 2019, **15**(3): 270-281.

 Mei M, Zhu R, Sun C Y. Study on meteorological conditions for heavy air pollution and its climatic characteristics in "2 + 26" cities around Beijing-Tianjin-Hebei region in autumn and winter [J]. Climate Change Research, 2019, **15**(3): 270-281.
- [13] 贺园园, 胡非, 刘郁珏, 等. 北京地区一次 PM_{2.5}重污染过程 的边界层特征分析[J]. 气候与环境研究, 2019, **24**(1); 61-72.
 - He Y Y, Hu F, Liu Y J, *et al.* Boundary layer characteristics during a heavy PM_{2.5} pollution process in Beijing [J]. Climatic and Environmental Research, 2019, **24**(1): 61-72.
- [14] 吕喆, 魏巍, 周颖, 等. 2015~2016 年北京市 3 次空气重污染红色预警 PM_{2.5} 成因分析及效果评估[J]. 环境科学, 2019, **40**(1): 1-10.
 - Lü Z, Wei W, Zhou Y, *et al.* Cause and effect evaluation of PM_{2.5} during three red alerts in Beijing from 2015 to 2016 [J]. Environmental Science, 2019, **40**(1): 1-10.
- [15] 张敬巧, 吴亚君, 张萌, 等. 聊城冬季一重污染过程 PM_{2.5}污 染特征及成因分析 [J]. 环境科学, 2018, **39**(9): 4026-4033.
 - Zhang J Q, Wu Y J, Zhang M, et al. $PM_{2.5}$ Pollution characterization and cause analysis of a winter heavy pollution event, Liaocheng City [J]. Environmental Science, 2018, 39 (9): 4026-4033.
- [16] 王涛,李杰,王威,等. 北京秋冬季一次重污染过程 PM_{2.5}来 源数值模拟研究[J]. 环境科学学报,2019,39(4):1025-1038
 - Wang T, Li J, Wang W, et al. Numerical simulation study on source apportionment of PM_{2.5} in a heavy winter pollution event over Beijing area[J]. Acta Scientiae Circumstantiae, 2019, **39** (4): 1025-1038.
- [17] 李杏茹,白羽,陈曦,等. 北京冬季重污染过程大气细颗粒物化学组成特征及来源分析[J]. 环境化学,2018,37(11):2397-2409.
 - Li X R, Bai Y, Chen X, et al. Chemical composition and source apportionment of $PM_{2.5}$ during winter in Beijing [J]. Environmental Chemistry, 2018, 37(11): 2397-2409.
- [18] 刘盈盈,殷宝辉,王静,等.济南冬季大气重污染过程颗粒

- 物组分变化特征[J]. 环境化学, 2018, **37**(12): 2749-2757. Liu Y Y, Yin B H, Wang J, *et al.* Characteristics of airborne particles compositions during winter heavy pollution days in Ji'nan [J]. Environmental Chemistry, 2018, **37**(12): 2749-2757.
- [19] 陈楚,王体健,李源昊,等.濮阳市秋冬季大气细颗粒物污染特征及来源解析[J].环境科学,2019,40(8):3421-3430
 - Chen C, Wang T J, Li Y H, et al. Pollution characteristics and source apportionment of fine particulate matter in autumn and winter in Puyang, China[J]. Environmental Science, 2019, 40 (8): 3421-3430.
- [20] 徐虹,肖致美,陈魁,等. 天津市 2017 年重污染过程二次无机化学污染特征分析[J]. 环境科学, 2019, **40**(6): 2519-2525.
 - Xu H, Xiao Z M, Chen K, *et al.* Secondary inorganic pollution characteristics during heavy pollution episodes of 2017 in Tianjin [J]. Environmental Science, 2019, **40**(6): 2519-2525.
- [21] Wang Y J, Bao S W, Wang S X, et al. Local and regional contributions to fine particulate matter in Beijing during heavy haze episodes [J]. Science of the Total Environment, 2017, 580: 283-296.
- [22] 肖致美, 徐虹, 李鵬, 等. 京津冀区域重污染期间 PM_{2.5}垂直分布及输送[J]. 环境科学, 2019, **40**(10): 4303-4309.

 Xiao Z M, Xu H, Li P, *et al.* Vertical distribution and transport of PM_{2.5} during heavy pollution events in the Jing-Jin-Ji Region [J]. Environmental Science, 2019, **40**(10): 4303-4309.
- [23] 段时光,姜楠,杨留明,等.郑州市冬季大气 PM_{2.5} 传输路径和潜在源分析[J]. 环境科学,2019,40(1):86-93.

 Duan S G, Jiang N, Yang L M, et al. Transport pathways and potential sources of PM_{2.5} during the winter in Zhengzhou[J]. Environment Science, 2019, 40(1):86-93.
- [24] 闫世明, 王雁, 郭伟, 等. 太原市秋冬季大气污染特征和输送路径及潜在源区分析[J]. 环境科学, 2019, **40**(11): 4801-4809.
 - Yan S M, Wang Y, Guo W, et al. Characteristics, transportation, pathways, and potential sources of air pollution during autumn and winter in Taiyuan [J]. Environmental Science, 2019, 40(11): 4801-4809.
- [25] 吴兑,吴晟,李菲,等.粗粒子气溶胶远距离输送造成华南严重空气污染的分析[J].中国环境科学,2011,31(4);

540-545.

Wu D, Wu S, Li F, et al. Air pollution episode in southern China due to the long range transport of coarse particle aerosol [J]. China Environmental Science, 2011, 31(4): 540-545.

41 卷

- [26] 霍彦峰,邓学良,弓中强,等. 2017年5月长三角地区一次沙尘重污染天气成因分析[J]. 气象与环境学报,2019,35(1):26-34.
 - Huo Y F, Deng X L, Gong Z Q, et al. Formation analysis of a heavy dust pollution event in the Yangtze River Delta in May 2017 [J]. Journal of Meteorology and Environment, 2019, 35 (1): 26-34.
- [27] 魏巍, 皮冬勤, 晏平仲, 等. 2017 年春季华北地区一次典型沙尘重污染天气过程研究[J]. 环境科学学报, 2018, 38 (5): 1699-1707.
 - Wei W, Pi D Q, Yan P Z, et al. Study on a typical dust pollution process in North China in spring in 2017 [J]. Acta Scientiae Circumstantiae, 2018, 38(5): 1699-1707.
- [28] 熊亚军, 唐宜西, 寇星霞, 等. 北京春季一次霾和沙尘混合 污染天气过程分析[J]. 干旱气象, 2017, 35(1): 100-107. Xiong Y J, Tang Y X, Kou X X, et al. Analysis of a haze and sand-dust mixed pollution weather in Spring of Beijing [J]. Journal of Arid Meteorology, 2017, 35(1): 100-107.
- [29] 王耀庭, 李青春, 郑祚芳, 等. 北京春季一次霾-沙天气污染特性与成因分析[J]. 环境科学, 2019, 40(6): 2582-2594. Wang Y T, Li Q C, Zheng Z F, et al. Research on the pollution characteristics and causality of haze-sand air pollution in Beijing in spring [J]. Environmental Science, 2019, 40(6): 2582-2594.
- [30] 徐文帅,张大伟,李云婷,等. 北京两次沙尘污染过程中 $PM_{2.5}$ 浓度变化特征[J]. 气候与环境研究, 2016, 21(1): 78-86.
 - Xu W S, Zhang D W, Li Y T, et al. Variation of PM_{2.5} concentration during two dust pollution events in Beijing [J]. Climatic and Environmental Research, 2016, **21**(1): 78-86.
- [31] 木拉提, 王佳佳, 丽娜, 等. 沙尘天气期间大气 $PM_{2.5}$ 和 PM_{10} 中部分元素浓度的变化特征[J]. 环境与健康杂志, 2010, **27**(9): 755-758.
 - Mu L T, Wang J J, Li N, *et al.* Feature analysis of metal components of PM_{2.5} and PM₁₀ during sand dust weather [J]. Journal of Environment and Health, 2010, 27(9): 755-758.

HUANJING KEXUE

Environmental Science (monthly)

Vol. 41 No. 2 Feb. 15, 2020

CONTENTS

Influencing Factors of Long-term Variations on Gridded PM _{2,5} of Typical Regions in China Based on GAM Model	CHEN Lu-lu, HUANG Tao, CHEN Kai-jie, et al. (510)
Diurnal Variations and Source Apportionment of Water-soluble Ions in PM _{2.5} During Winter in Nanjing Jiangbei New Area Characterization, Seasonal Variation, and Source Apportionments of Particulate Amines (PM _{2.5}) in Northern Suburb of Nanjing Pollution Characteristics and Source Apportionment of n-Alkanes and PAHs in Summertime PM _{2.5} at Background Site of Yangtze River I	QIU Chen-chen, YU Xing-na, DING Cheng, et al. (529) LI Xu-jie, SHI Xiao-wen, MA Yan, et al. (537)
Source Apportionment and Health Risk Assessment of Polycyclic Aromatic Hydrocarbons in PM _{2.5} in Changehun City, Autumn of 2017 Heavy Pollution Characteristics and Assessment of PM _{2.5} Predicted Model Results in Beijing-Tianjin-Hebei Region and Surrounding Area ZI	ZHANG Yi-xuan, CAO Fang, ZHENG Han, et al. (564) as During November 23 to December 4, 2018
Analysis of Characteristics and Meteorological Influence Factors of Ozone Pollution in Henan Province Spatio-Temporal Distribution and Variation Characteristics of Aerosol Optical Properties in Henan Province Analysis of Water Soluble Organic Aerosol in Spring PM _{2. 5} with Soot Particle Aerosol Mass Spectrometry (SP-AMS) H Temporal Evolution and Main Influencing Factors of Black Carbon Aerosol in Nanjing YANG	
Pollution Characteristics and Ozone Formation Potential of Ambient Volatile Organic Compounds (VOCs) in Summer and Autumn in Difference of the Compound (VOCs) in Summer and Autumn in Difference of the Compound (VOCs)	rent Functional Zones of Lianvungang China
Operation and Maintenance of Cost-Effective Volatile Organic Compounds Abatement Alternatives Pollution and Deposition Characteristics of Precipitation and Its Source Apportionment in Xi'an City	······· QIANG Ning, SHI Tian-zhe, MIAO Hai-chao (638)
Bacterial Diversity and Community Structure Antibiotic-resistant Bacteria in Bioaerosol of Animal Farms	·· SHA Yun-fei, SUN Xing-bin, XIN Wen-peng, et al. (656)
Vehicle Emission Inventory and Scenario Analysis in Liaoning from 2000 to 2030	
VOCs Emission Characteristics of DPF Regeneration in National VI Diesel Engine Characteristics and Significance of Stable Isotopes and Hydrochemistry in Surface Water and Groundwater in Nanxiaohegou Basin	
Spatio-Temporal Distribution and Risk Assessment of Heavy Metals in Middle and Lower Reaches of Le'an River	
Spatio-temporal Evolution and Relationship of Water Environment Quality and Phytoplankton Community in Wenyu River	
High-Frequency Dynamics of Water Quality and Phytoplankton Community in Inflowing River Mouth of Xin'anjiang Reservoir, China	··· DA Wen-yi, ZHU Guang-wei, LI Yun-xiang, et al. (713)
Phosphorus Storage Capacity and Loss Risk in Coastal Reed Wetland Surrounding Bohai Sea	
Spatio-Temporal Variation of Release Flux of Sediment Nitrogen and Phosphorus in High-Risk Period of Algal Bloom in Lake Erhai	
Fluorescence Characteristics and Source Analysis of DOM in Snowfall of Xi'an	
Performance Assessment of Permeable Interlocking Concrete Pavement Facility Structure Photocatalytic Degradation of Rhodamine B with Micro-SiC/Graphene Composite Under Visible Light Irradiation	
Removal of BPA and EE2 from Water by Mn-Fe Embedded in Acicular Mullite	
Fabrication of La-MHTC Composites for Phosphate Removal; Adsorption Behavior and Mechanism	
Adsorption of Low-Concentration Phosphorus from Water by Composite Metal Modified Biochar	
Phosphate Adsorption from Water on CaO ₂ -loaded Magnetic Diatomite	
Phosphorus Forms and Release Risk of Sediments in Urban Sewage Treatment Plant Effluent and Receiving Stream Reach	
Purification Characteristics of Urban Tail Water from Sewage Treatment Plant by Biofilm Ecological Floating Bed	
Removal Performance of Antibiotic Resistance Genes and Heavy Metal Resistance Genes in Municipal Wastewater by Magnetic-Coagulation Y	On Process
Effect of Tetracycline Antibiotic on Abundance and Transcriptional Expression Level of Tetracycline Resistance Genes in Activated Sludg	
Effect of Tetracycline Antibotic of Abundance and Transcriptional Expression Evel of Tetracycline Testistance Octob in Activated Stang	····· RUAN Xiao-hui OIAN Ya-iie XUE Gang et al. (823)
Denitrification Process and N ₂ O Production Characteristics of Heterotrophic Nitrifying Bacterium Pseudomonas aeruginosa YL	
Environmental Factors Influence and Microbial Community Structure Analysis of Entrapped Anaerobic Ammonium Oxidizing Bacteria	····· WANG Xiao-tong, YANG Hong, SU Yang, et al. (839)
Research on Denitrification Performance of Enhanced Secondary Effluent by Embedded Denitrification Filler and Pilot Application	<u> </u>
Temporal Anaerobic Effect on Aerobic Granular Sludge with Intermittent Influent-Intermittent Aeration	
Simultaneous Short-Cut Nitrification-Denitrification Phosphorus Removal Granules Induced by Phosphorus Removal Granules Spatial Distribution Characteristics and Pollution Assessment of Heavy Metals on Farmland of Geochemical Anomaly Area in Southwest G	
Spatial Distribution Characteristics and Fondulon Assessment of Heavy metals on Parlinanti of Geochemical Anomaly Area in Southwest G	WANG Fo-peng XIAO Nai-chuan ZHOU Lang <i>et al.</i> (876)
Evaluation and Source of Heavy Metal Pollution in Surface Soil of Qinghai-Tibet Plateau	
Characteristics and Factors of Soil Enzyme Activity for Different Plant Communities in Yellow River Delta	
Effects of Management Measures on Soil Water-soluble Carbon and Nitrogen and Their Three-Dimensional Fluorescence Characteristics of	Pinus tabulaeformis Plantations on Loess Plateau ···
Effects of Biochar Input on Changes of Available Nutrient Elements in Riparian Soils with Different Landuse Types	
Effect of Applying Hydrochar for Reduction of Ammonia Volatilization and Mechanisms in Paddy Soil Effects of Mycorrhizal Fungi on Nitrification and Denitrification in the Rhizospheric Soil of Aquatic Plants and Its Microbial Mechanism	
Comparison of Floating Chamber and Diffusion Model Methods for Measuring Methane Emissions from Inland Fish-Aquaculture Ponds	
Simultaneous Quantitative Detection of Thirteen Common Antibiotics in Leafy Vegetables by Ultra-High Performance Liquid Chromatograp	phy-Tandem Mass Spectrometry
	CHEN Qian, LIU Yang, XIAO Li-jun, et al. (952)
Accumulation and Translocation of Cd in Brassica rapa Under the Influence of Selenium	······ YU Yao, LUO Li-yun, LIU Zhe, et al. (962)
Tolerance Mechanism and Cadmium Enrichment Abilities in Two Brassica napus L. Cultivars	
Enhanced Phytoextraction of Cadmium Contaminated Soil by Trifolium Repens with Biodegradable Chelate GLDA	
Heavy Metal Contents in Animal Manure in China and the Related Soil Accumulation Risks Microbial Community Succession in Industrial Composting with Livestock Manure and Peach Branches and Relations with Environmental	
Microbial Community Succession in Industrial Composting with Livestock Manure and Peach Branches and Relations with Environmental CA	I Han-hing FENG Wen-wen DONG Yong-hua et al. (007)
Degradation Characteristics of Antibiotics During Composting of Four Types of Feces ZH	